# 大阪市舞洲における地盤調査 (その3: Ma11 層と Ma10 層の土質特性)

大阪市立大学大学院 ○学 田中さち 学 糟谷祐多 正 大島昭彦

同上 学 天満脩平 学 武野航大 段志磊

中央開発(株) 正 前田直也 正 杉原普作

#### 1. はじめに

大阪市此花区舞洲(人工島)で複数帯水層を低価格・大容量の蓄熱槽として活用するために、揚水・還水を可能とする熱源井の構築の実証実験を行っている。ただし、揚水・還水によって帯水層の地下水位が変動するため、地盤沈下リスクの回避が必要となる。そこで、深度150mまで実施したパイロットボーリング時に、沖積粘土(Ma13)層、洪積粘土(Ma12, Ma11, Ma10)層の乱れの少ない試料をサンプリングして地盤沈下予測の検討を行った。本稿では、土質試験によってMa11層、Ma10層の土質特性(物理、圧密特性)を詳しく調べた結果を報告する。なお、パイロットボーリングの結果及びMa13層、Ma12層の土質特性はそれぞれ文献1)、2)を参照されたい。

## 2. 洪積粘土 Mall 層の土質特性

図-1(1)~(5), (6)~(9)に舞洲 Ma11 層のそれぞれ物理特性, 圧密特性を示す。Ma11 層は上部 (Ma11\_U, GL-76~-84m) と下部 (Ma11 L, GL-86~-100m) に分かれ, 間に砂層を挟んでいる (Ma11 Uにも一部砂層を挟んだ)。

図(1)の自然含水比 $w_n$ , 液性限界 $w_L$ , 塑性限界 $w_p$ から,Mall\_U層は上部以外の塑性は低いが,Mall\_L層は典型的な弓形分布を示す。これは海進から海退に向かう堆積環境の変化によるものである。図(2)の液性指数 $I_L$ は,下部以外は $0.25\sim0.4$ 程度とかなり低く,安定した状態にある。図(3)の湿潤密度 $\rho$ は,供試体と押出時の値はほぼ一致し, $w_n$ が反映された分布となっている。図(4)の土粒子密度 $\rho$ は $2.64\sim2.73$  g/cm³ となっている。図(5)の粒度含有率から,粘土分含有率は $w_L$ と調和的であり,塑性の低い深度では細粒分含有率が下がり,砂分が混入している。

図(6)の圧縮指数  $C_c$ は  $w_L$ と相似な分布で、両者の相関性が高いことがわかる。図中に示した  $C_{cr}$ は高圧力域  $(p=1256 \sim 2511 \, kNm^2)$  での圧縮指数で、 $C_c$ と  $C_{cr}$ の差は粘土の構造発達の程度を表すが、特に  $Ma11_U$  層で構造が発達していることがわかる。図(7)の圧密係数  $c_v$ は  $w_L$  と逆相似な分布となっており、 $GL-89\sim -92 \, m$  では  $20\sim 30 \, cm^2/d$  を示す。図(8)の圧密降伏応力  $p_c$  は、深度方向にややばらつきがあるが、有効土被り圧  $p_0$  に対して平均的に  $150 \, kN/m^2$  程度大きく、過圧密となっているが、Ma12 層  $2^0$ と同様にその過圧密性は低い(OCR は  $1.1\sim 1.2$  程度)。図(9)の圧縮曲線( $f-\log p$ )は、粘土の塑性(不均質性)が反映されて位置と傾きに大きな幅がある。

## 3. 洪積粘土 Ma10層の土質特性

図-2(1)~(5), (6)~(9)に舞洲 Ma10 層のそれぞれ物理特性, 圧密特性を示す。

図(1)の $w_n$ ,  $w_L$ ,  $w_p$ から,Ma10層の塑性は若干の変動があるもののMa11\_L層と同様に弓形分布となっている。図(2)の $I_L$ は  $0.3 \sim 0.5$  を示し,先のMa11層よりもやや高いといえる。図(3)の $\rho_L$ はやはり供試体と押出時はほぼ一致し, $w_n$  が反映された分布である。図(4)の $\rho_L$ は GL-136 $\sim$ -140mで  $2.56 \sim 2.61 g/cm^3$  と他よりも小さいのが特徴で,この深度の $w_L$ ,  $w_p$ が高いことから珪藻のような $\rho_L$ が低い成分が混入していると推定される(今後検討)。図(5)の粒度含有率から,やはり粘土分含有率は $w_L$ と調和的であり,細粒分含有率は上下部を除けば 98%以上であった。

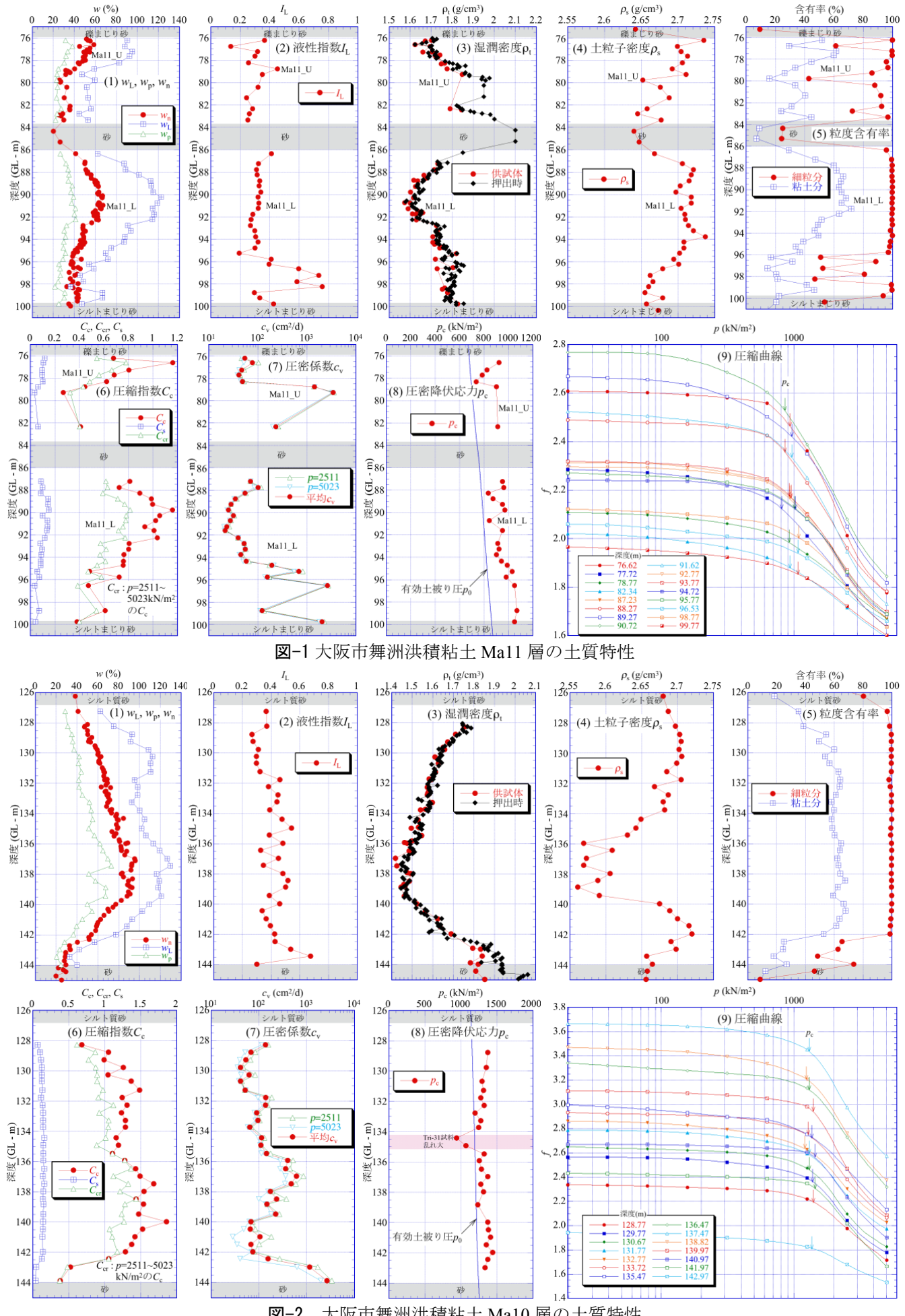
図(6)の  $C_c$  は全体に 1 以上で,圧縮性が高い。やはり  $w_L$  と相似な分布となっている。また, $C_c$  と  $C_{cr}$  の差から,構造が発達の程度がわかる。図(7)の  $c_v$  も  $w_L$  と逆相似な分布となり,GL-130m 前後で  $40\,cm^2/d$  を示すが,塑性が高い割には  $c_v$  が大きいのが特徴である。図(8)の  $p_c$  は  $p_0$  よりも平均的に  $140\,kN/m^2$  程度大きく,過圧密といえるが,Ma12,Ma11 層と同様に過圧密性は低い(OCR は  $1.05\sim1.15$  程度)。なお, $GL-134\sim-135\,m$  の試料は乱れが大きかった。図(9)の圧縮曲線(f-logp)は,やはり粘土の塑性(不均質性)が反映されて位置と傾きに大きな幅がある。なお,これらの洪積粘土層の地下水位低下による沈下予測,及び帯水層の揚水・還水によって生じる地下水位変動による荷重を与えた繰返し圧密試験結果とそれを基にした沈下予測は文献 3),4)で報告している。

### 参考文献

- 1) 大島・他: 大阪市舞洲における地盤調査(その1:ボーリング調査結果)、土木学会第74回年次学術講演会(投稿中)、2019.
- 2) 糟谷・他: 大阪市舞洲における地盤調査(その2: Ma13 層と Ma12 層の土質特性)、土木学会第74 回年次学術講演会(投稿中)、2019.
- 3) 天満・他: 大阪市舞洲の被圧帯水層の地下水位変動による洪積粘土層の繰返し圧密挙動、土木学会第74回年次学術講演会(投稿中), 2019.
- 4) 武野・他:大阪市舞洲の被圧帯水層の地下水位変動による洪積粘土層の沈下量予測,土木学会第74回年次学術講演会(投稿中),2019.

Key Words: 現場調査, サンプリング, 洪積粘土, 物理特性, 圧密特性

〒558-8585 大阪市住吉区杉本 3-3-138 大阪市立大学大学院工学研究科都市系専攻 TEL 06-6605-2996 FAX 06-6605-2726



大阪市舞洲洪積粘土 Ma10 層の土質特性